

FYZIKÁLNE PRAKTIKUM

Spracoval: Vladimír Domček

Namerané: 24.10.2012

Obor: Astrofyzika **Ročník:** II **Semester:** III

Testované:

Úloha č. 6: Relaxačné kmity

$$T = 22,7 \text{ } ^\circ\text{C}$$

$$p = 990 \text{ hPa}$$

$$\varphi = 42 \text{ \%}$$

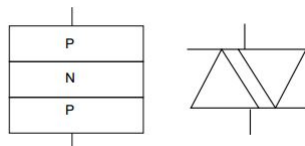
1. Zadanie

- Zmerajte spínacie napätie diaku. Pre rôzne hodnoty súčinu RC zmerajte závislosť frekvencie elektrických kmitov diaku na napätí zdroja. Vypočítajte závislosť frekvencie relaxačných kmitov na napätí pre rovnaké hodnoty RC, znázornite graficky a porovnajte s nameranými hodnotami.
- Zmerajte závislosť frekvencie relaxačných kmitov pomocou Lissajousových obrazcov

2. Teória

2.1. Diak

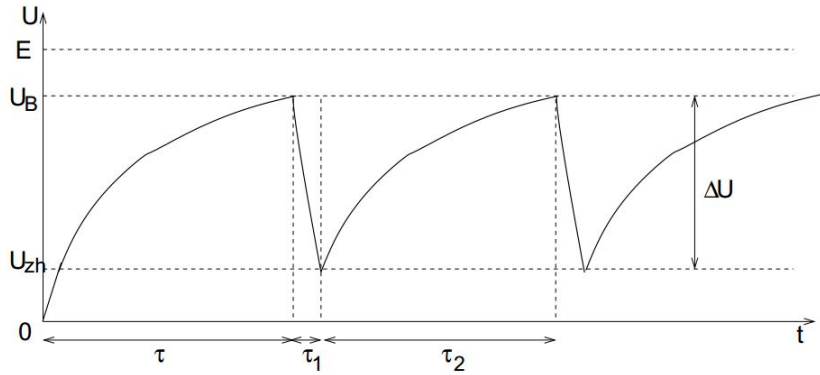
Diak je polovodičová súčiastka, skladajúca sa z dvoch sériovo radených PN prechodov. Ak zapojíme diak na jednosmerné napätie, jeden z PN prechodov bude v prieplustnom smere a druhý v závernom. Pokiaľ nedosiahneme otváracie napätie U_B , prechádza diakom len nepatrny prúd. Po dosiahnutí napäťa U_B nastane lavínový prieraz prechodu radeného v závernom smere a napätie na diaku klesne o hodnotu ΔU .



Obr.1 Schéma usporiadania a symbolika diaku

2.2. Relaxačné kmity

Voltampérova charakteristika diaku umožňuje použitie na generáciu relaxačných kmitov. Zhotovíme obvod podľa schémy na obr.3. Po spojení obvodu preteká diakom len nepatrny prúd. Kondenzátor C sa nabíja až po dosiahnutí U_B , dôjde k zopnutiu diaku, ktorým poteče prúd a kondenzátor sa vybije na hodnotu zhasínajúceho napäťa U_z . Pri tomto napätí prestane diakom pretekať prúd, prejde do nezopnutého stavu a zvýši svoj odpor o niekoľko rádov. Kondenzátor sa opäť nabíja a celý dej sa opakuje, diak bude skokovo prechádzať z nezopnutého stavu na zopnutý. Časový priebeh tohto deja môžeme vidieť na obr.3.



Obr.2 Časový priebeh napäťia na kondenzátore a diaku v oscilačnom obvode

Pre idealizovanú charakteristiku diaku ($I = 0$, $R_i = \infty$ v nezopnutom stave) platí:

$$E = RI_0 + U, \quad I_0 = I_C + I_D, \quad I_D = \frac{U - U_B}{R_i}, \quad I_C = \frac{dQ}{dt} = C \frac{dU}{dt}$$

Z predchádzajúcich vzťahov môžeme vyjadriť vzťahy pre celkovú dobu jednej periódy oscilácií:

$$T = \tau_1 + \tau_2 \quad (1)$$

$$\tau_1 = R_i C \ln \frac{U_B}{U_z} \quad (2)$$

$$\tau_2 = R C \ln \left(\frac{U_z - U}{U_B - U} \right) \quad (3)$$

ked'že $\tau_1 \ll \tau_2$ frekvencia relaxačných kmitov je vyjadrená vzťahom:

$$f = \frac{1}{\tau_2} \quad (4)$$

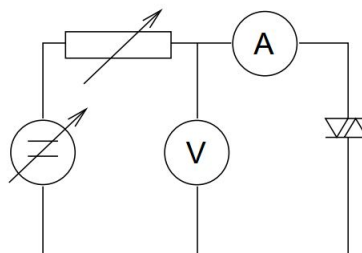
2.3. Lissajousové obrazce

Lissajousové obrazce sú krivky, ktoré dostaneme pri skladaní dvoch navzájom kolmých kmitov. Podiel frekvencií je učručjúcou veličinou pre tvar Lissajousových kriviek. Pokial' sú obe frekvencie racionálne čísla, ide o uzavretú krivku.

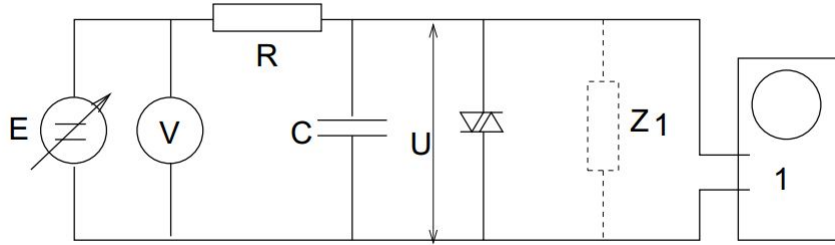
3. Postup

3.1. Relaxačné kmity

- určíme spínacie a zhasínacie napätie diaku v zapojení podľa obr.3
- zmeriame závislosť frekvencie relaxačných kmitov na napätí zdroja pre 3 rôzne kombinácie RC
- vypočítame frekvenciu relaxačných kmitov v závislosti na napätí a provnáme s nameranými hodnotami



Obr.3 Schéma zapojenia pre meranie spínacieho napäťia na diaku



Obr.4 Schéma zapojenia pre meranie frekvencie relaxačných kmitov

3.2. Lissajousové obrazce

- pokusíme sa pomocou osciloskopu nájsť Lissajousové obrazce kombinovaním 2 signálou s frekvenciami rôznych pomerov a overiť tak frekvenciu relaxačných kmitov v závislosti na napäti

4. Meranie

4.1. Relaxačné kmity

4.1..1 Spínacie napätie

| Meranie | U_B [V] | ΔU [V] | I [mA] |
|---------|----------------|----------------|----------------|
| 1 | 37,5 | 9 | 21,5 |
| 2 | 38 | 9 | 21,5 |
| 3 | 38 | 9 | 21,5 |
| 4 | 37 | 8,5 | 21 |
| 5 | 38,5 | 9,5 | 21,5 |
| Priemer | $37,8 \pm 0,3$ | $9,0 \pm 0,2$ | $21,4 \pm 0,1$ |

Tab.1 Diak DB4

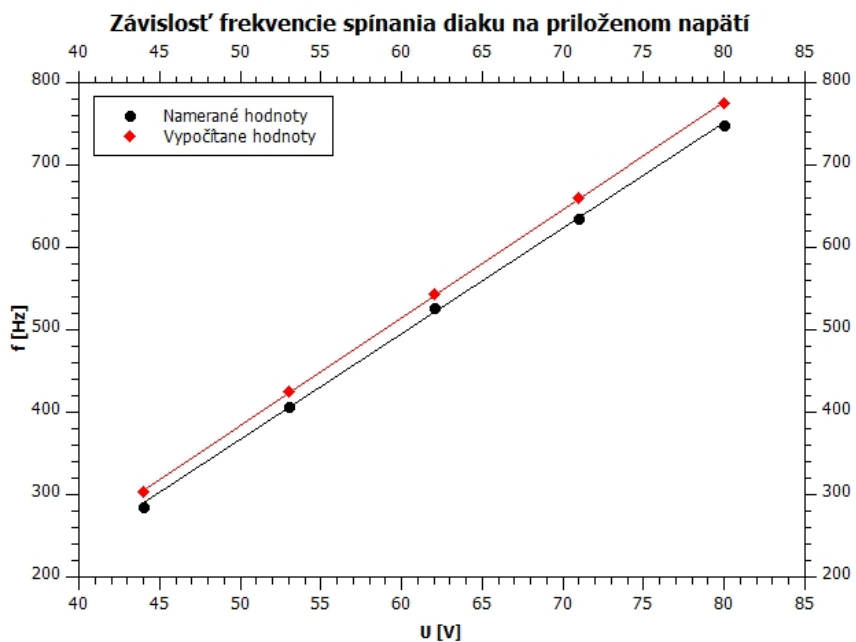
| Meranie | U_B [V] | ΔU [V] | I [mA] |
|---------|----------------|----------------|----------------|
| 1 | 31 | 5,5 | 21 |
| 2 | 31,5 | 6,5 | 20,5 |
| 3 | 31 | 6 | 21 |
| 4 | 31 | 5,5 | 20,5 |
| 5 | 31,5 | 6,5 | 21 |
| Priemer | $31,2 \pm 0,1$ | $6,0 \pm 0,2$ | $20,8 \pm 0,1$ |

Tab.2 Diak DB3

4.1..2 Závislosť frekvencie relaxačných kmitov na napäti zdroja

| U [V] | f_m [Hz] | ΔU [V] | f_v [Hz] |
|-------|------------|----------------|------------|
| 44 | 285,7 | 27,6 | 302,6 |
| 53 | 406,5 | 27,8 | 424,9 |
| 62 | 526,3 | 27,6 | 543,1 |
| 71 | 634,5 | 28 | 659,5 |
| 80 | 748,5 | 27,8 | 774,9 |

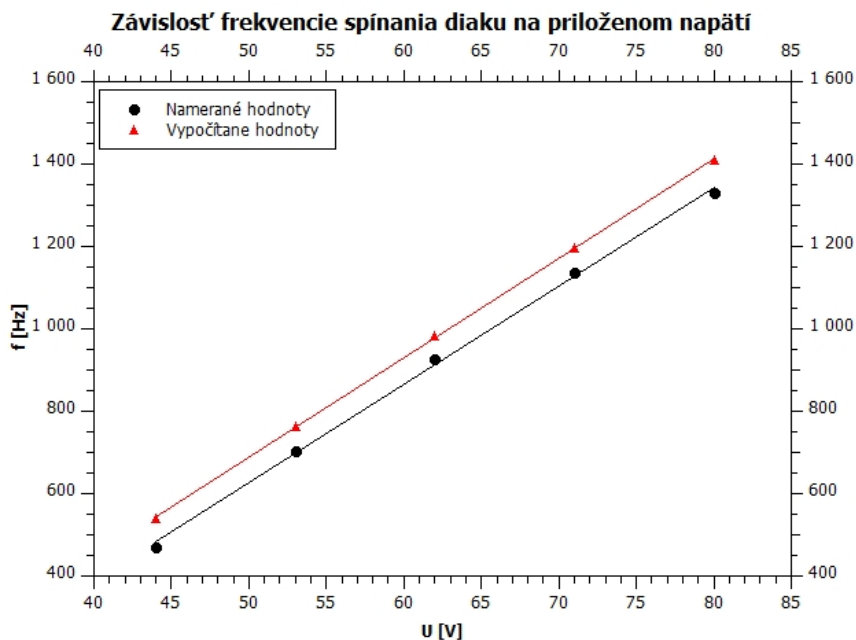
Tab.3 Diak DB3, $C_2 = 11,38 \text{ nF}$, $R = 251,8 \text{ k}\Omega$



Obr.5 Graf závislosti frekvencie spínania diaku na priloženom napäti

| U [V] | f_m [Hz] | ΔU [V] | f_v [Hz] |
|-------|------------|----------------|------------|
| 44 | 471,6 | 25 | 539,1 |
| 53 | 704,2 | 25,2 | 763,9 |
| 62 | 925,9 | 25 | 981,9 |
| 71 | 1136 | 25,2 | 1197 |
| 80 | 1329 | 25 | 1410 |

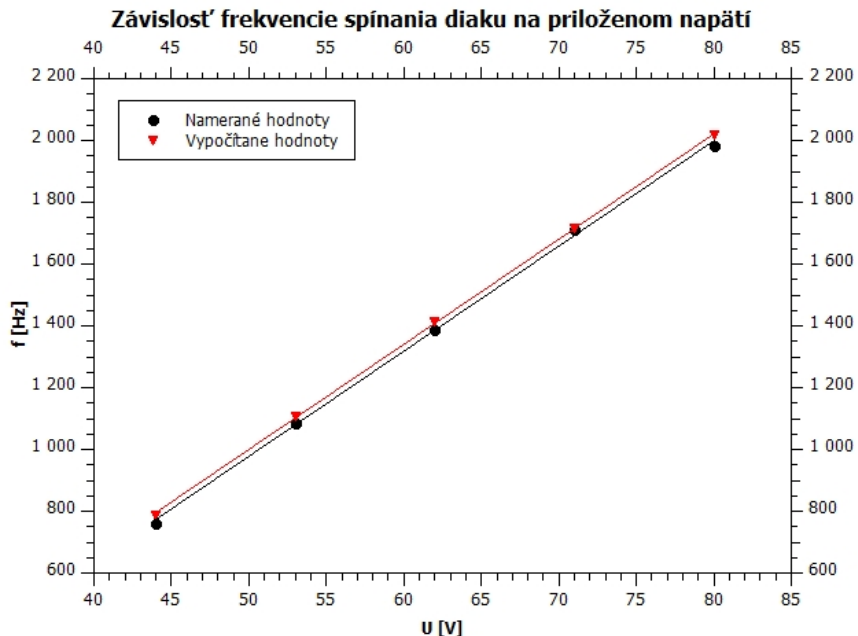
Tab.4 Diak DB3, $C_1=6,79$ nF, $R = 251,8$ k Ω



Obr.6 Graf závislosti frekvencie spínania diaku na priloženom napäti

| U [V] | f_m [Hz] | ΔU [V] | f_v [Hz] |
|-------|------------|----------------|------------|
| 44 | 762,1 | 27,6 | 787,7 |
| 53 | 1086 | 27,8 | 1106 |
| 62 | 1388 | 27,8 | 1414 |
| 71 | 1712 | 27,6 | 1717 |
| 80 | 1984 | 27,8 | 2018 |

Tab.4 Diak DB3, $C_1=11,38 \text{ nF}$, $R = 96,8 \text{ k}\Omega$



Obr.7 Graf závislosti frekvencie spínania diaku na priloženom napäti

4.2. Lissajousové obrazce

Diak DB3, $C_1=11,38 \text{ nF}$, $R = 96,8 \text{ k}\Omega$, $U = 44 \text{ V}$, $f_1 = 767 \text{ Hz}$

| Pomer signálov $\frac{f_1}{f_2}$ | f_2 [Hz] | Pomer signálov $\frac{f_1}{f_2}$ | f_2 [Hz] |
|----------------------------------|------------|----------------------------------|------------|
| 1/1 | 767 | 2/3 | 1151 |
| 1/2 | 1535 | 2/1 | 384 |
| 1/3 | 2302 | 3/1 | 256 |
| 1/4 | 3070 | 4/1 | 192 |
| 1/5 | 3837 | 3/4 | 1024 |
| 6/7 | 895 | 4/5 | 959 |
| 3/5 | 1280 | 9/2 | 171 |

Tab.5 Zoznam nájdených Lissajousových obrazcov s pomermi frekvencií

5. Záver

V prvej časti úlohy sme merali otváracie napätie a pokles napäťia pri dosiahnutí otváracieho napäťia pre 2 diaky. Pre diak DB4 nám vyšli hodnoty: $U_B=(37,8\pm0,3)$ V, $\Delta U=(9,0\pm0,2)$ V a pre diak DB3: $U_B=(31,2\pm0,1)$ V, $\Delta U=(6,0\pm0,2)$ V. Taktiež sme pri tomto meraní overili, že na diaku, cez ktorý prechádza vyšší prúd, dochádza k vyššiemu poklesu napäťia.

V ďalšej časti úlohy sme merali závislosť frekvencie relaxačných kmitov na napäti zdroja pomocou osciloskopu pre 3 rôzne RC kombinácie. Namerané frekvencie sú vypísane v tabuľkách 3,4,5 aj spolu s dopočítanými frekvenciami. Môžeme si všimnúť, že sa tieto frekvencie mierne líšia. Je to spôsobené tým, že aj samotný osciloskop má nejakú impedanciu a na získanie presnejších hodnôt by bolo potrebné spraviť korekciu počítajúc aj s touto hodnotou. Namerané hodnoty sa však približujú vypočítaným, čo dokazujú aj priložené grafy.

V poslednej časti úlohy sme sa pokúšali získať frekvenciu relaxačných kmitov pomocou Lissajousových obrazcov. Robili sme to tým spôsobom, že sme na osciloskope sledovali priebeh napäti, pričom na horizontálny vstup sme privádzali napätie z generátoru s ladiel'ou frekvenciou. Nastavili sme teda pomer frekvencií 1 ku 1 a zistili frekvenciu relaxačných kmitov: $f = 767$ Hz. Táto hodnota sa nám vierohodne približuje k hodnote, ktorú sme namerali v predošej časti a to $f = 762,1$ Hz.